

# Calculation of the $S_{E1}$ factor of $d(\alpha, \gamma)^6\text{Li}$ reaction in Cluster Effective Field Theory at Low Energies

Farzaneh Nazari<sup>1</sup>, Mahdi Radin\*<sup>1</sup>, Mahdi Moeini Arani<sup>2</sup>

<sup>1</sup>Department of Physics, K. N. Toosi University of Technology, Tehran, Iran

<sup>2</sup>Malek Ashtar University of Technology, Tehran, Iran

Received: 27.05.2024    Final revised: 06.07.2024    Accepted: 25.11.2024

Doi: [10.22055/jrmb.2025.19793](https://doi.org/10.22055/jrmb.2025.19793)

## Abstract

In this paper we study the radiative capture process  $d(\alpha, \gamma)^6\text{Li}$  in the cluster effective field theory at low energies up to next-to-leading order. This particular nuclear reaction played a crucial role in the early universe by rapidly producing  $^6\text{Li}$  shortly after the Big Bang. In the range of energy  $E_{\text{CM}} \leq 0.5 \text{ MeV}$  the E1 transition has the dominant contribution in the reaction. First, we derive the E1 transition amplitudes from all  $P$ -waves of the alpha-deuteron system to the  $^6\text{Li}$  ground state according to the possible Feynman diagrams. Next we calculate the total cross section and the astrophysical  $S$ -factor of  $d(\alpha, \gamma)^6\text{Li}$  reaction for energies below  $E_{\text{CM}} \leq 0.5 \text{ MeV}$  and we compare the results with the results obtained from the two other theoretical methods.

**Keywords:** Cluster effective field theory, Gamma capture reaction, The astrophysical  $S$ -factor.

---

\*Corresponding Author: [radin@mail.kntu.ac.ir](mailto:radin@mail.kntu.ac.ir)

## محاسبه فاکتور $S_{E1}$ واکنش $d(\alpha, \gamma)^6\text{Li}$ با استفاده از نظریه میدان مؤثر خوشه‌ای در انرژی‌های پایین

فرزانه نظری<sup>۱</sup>، مهدی رادین<sup>۱\*</sup>، مهدی معینی آرانی<sup>۲</sup>

<sup>۱</sup>دانشکده فیزیک، دانشگاه صنعتی خواجه نصیرالدین طوسی، تهران، ایران

<sup>۲</sup>دانشگاه صنعتی مالک اشتر، تهران، ایران

دریافت: ۱۴۰۳/۰۳/۰۷ ویرایش نهایی: ۱۴۰۳/۰۴/۱۶ پذیرش: ۱۴۰۳/۰۹/۰۵

Doi: [10.22055/jrmb.2025.19793](https://doi.org/10.22055/jrmb.2025.19793)

### چکیده

در این مقاله با استفاده از نظریه میدان مؤثر خوشه‌ای به مطالعه فرآیند گیراندازی تابشی  $d(\alpha, \gamma)^6\text{Li}$  تا مرتبه NLO و در محدوده انرژی‌های پایین می‌پردازیم. این واکنش نقشی تعیین‌کننده در تولید  $^6\text{Li}$  در دقایق ابتدایی پس از انفجار بزرگ داشته است. در محدوده انرژی  $E_{CM} \leq 0.5 \text{ MeV}$  گذار EI، سهم غالبی در فرآیند  $d(\alpha, \gamma)^6\text{Li}$  دارد. در این تحقیق، ابتدا به استخراج دامنه گذار EI برای همه حالت‌های  $P$  اولیه سیستم آلفا-دوترون به حالت پایه نهایی هسته  $^6\text{Li}$  مطابق با دیاگرام‌های فاینمن پرداخته و سپس سطح مقطع کل و فاکتور اختریفی  $S$  واکنش را در بازه انرژی  $E_{CM} \leq 0.5 \text{ MeV}$  به دست آورده و با نتایج به دست آمده از دو روش تئوری دیگر مقایسه نموده‌ایم.

**کلیدواژگان:** نظریه میدان مؤثر خوشه‌ای، واکنش گیراندازی تابش گاما، فاکتور اختریفی  $S$

### مقدمه

به جای سطح مقطع کل واکنش، برای این فرآیندها اندازه‌گیری و گزارش می‌شود. این کمیت فیزیکی توسط یک فاکتور نمایی که شامل اثرات کولنی است با سطح مقطع کل واکنش ارتباط دارد. تاکنون برای بررسی واکنش  $d(\alpha, \gamma)^6\text{Li}$  مطالعات تجربی و تئوری بسیاری انجام شده است که در ادامه به آنها اشاره می‌شود.

قدیمی‌ترین مطالعه تجربی توسط رابرتسون و همکاران او در سال ۱۹۸۱ انجام گرفت که در آن ذرات آلفا به وسیله دوترون گیراندازی شدند و با استفاده از تکنیک آنالیز مغناطیسی، یون‌های پس‌زده شده  $^6\text{Li}$  آشکار شدند. در این تحقیق اندازه‌گیری سطح مقطع واکنش

در چارچوب نظریه استاندارد سنتز هسته‌ای انفجار بزرگ، فراوانی اولیه عنصر  $^6\text{Li}$  به طور عمده توسط دو واکنش هسته‌ای زیر تعیین می‌شود: فرآیند گیراندازی تابش گاما  $d(\alpha, \gamma)^6\text{Li}$  که در آن، واکنش دوترون و آلفا منجر به تولید عنصر  $^6\text{Li}$  می‌شود و دیگری واکنش معکوس  $^6\text{Li}(p, \alpha)^3\text{He}$  است که فراوانی این عنصر را در جهان اولیه کاهش داده است [۱، ۲]. به دلیل وجود سد کولنی در واکنش‌های گیراندازی تابش گاما همانند  $d(\alpha, \gamma)^6\text{Li}$ ، سطح مقطع کل واکنش وابستگی نمایی شدیدی به انرژی مرکز جرم سیستم دارد. لذا برای رفع این مشکل فاکتور اختریفی  $S$  تعریف می‌شود که

\*نویسنده مسئول: Radin@kntu.ac.ir



لیپمن-شوئینگر پرداخت [۱۰]. ترسانوف و همکاران در سال ۲۰۱۶ با استفاده از مدل سه جسمی به مطالعه گذار  $E1$  پرداختند [۱۱] و در سال ۲۰۱۸ روشی را برای محاسبه فاکتور اختریفیزیکی  $S$  و محاسبه نرخ واکنش، ارائه نمودند [۱۲].

در این مطالعه برآنیم تا فرآیند  $d(\alpha, \gamma)^6\text{Li}$  را در محدوده انرژی‌های پایین  $E_{CM} \leq 0.5 \text{ MeV}$ ، با استفاده از نظریه میدان مؤثر خوشه‌ای دو جسمی مورد مطالعه قرار دهیم.

### واکنش گیراندازی تابش گاما

در این بخش به بررسی گذارهای الکترومغناطیسی محتمل در فرآیند  $d(\alpha, \gamma)^6\text{Li}$  می‌پردازیم. پایستگی تکانه زاویه‌ای و پاریته نقشی تعیین‌کننده در فرآیند تابش فوتون ایفا می‌کند. فوتون تابشی حالت‌های اولیه و نهایی سیستم را که تکانه زاویه‌ای و پاریته معینی دارند را طوری به هم مرتبط می‌کند تا پاریته و تکانه زاویه‌ای کل پایسته بماند. این موضوع منجر به انتشار فوتون با ویژگی‌های معین می‌شود. پاریته فوتون از اختلاف پاریته بین دو حالت اولیه و نهایی تعیین می‌شود. مقدار تکانه زاویه‌ای فوتون نیز به بازه  $|l_i - l_f| \leq \Delta l \leq l_i + l_f$  محدود می‌شود که در آن  $l_i$  و  $l_f$  به ترتیب تکانه زاویه‌ای حالت‌های اولیه و نهایی سیستم هستند. ترکیبی از مقادیر پاریته و تکانه زاویه‌ای‌های مجاز، ویژگی‌های تابش الکترومغناطیسی را در فرآیند تعیین می‌کند. قوانین انتخاب گذار الکترومغناطیسی در جدول ۱ نشان داده شده است.

$d(\alpha, \gamma)^6\text{Li}$  تا انرژی  $E_{CM} = 1 \text{ MeV}$  انجام شد [۳]. موهر و همکاران در سال ۱۹۹۴ سطح مقطع واکنش  $d(\alpha, \gamma)^6\text{Li}$  را برای انرژی ذره آلفا برابر با  $2 \text{ MeV}$  اندازه‌گیری کردند [۴]. در سال ۲۰۱۰ سطح مقطع فرآیند  $d(\alpha, \gamma)^6\text{Li}$  و فاکتور اختریفیزیکی  $S$  اندازه‌گیری شد [۵]. از مهم‌ترین مطالعات تجربی دیگر می‌توان به اندازه‌گیری مستقیم سطح مقطع فرآیند  $d(\alpha, \gamma)^6\text{Li}$  توسط ترزی و همکاران در سال ۲۰۱۷ اشاره کرد. در این آزمایش، سطح مقطع واکنش برای انرژی‌های  $E_{CM} = 80, 93, 120, 133 \text{ keV}$  اندازه‌گیری شد [۱].

تاکنون روش‌های مختلفی برای مطالعه تئوری فرآیند  $d(\alpha, \gamma)^6\text{Li}$  مورد استفاده قرار گرفته است. اولین مطالعه تئوری در این زمینه در سال ۱۹۸۶ توسط لانگانکه انجام شد که در آن از مدل‌های پتانسیلی میکروسکوپی برای محاسبه سطح مقطع واکنش  $d(\alpha, \gamma)^6\text{Li}$  استفاده شد [۶]. از دیگر مطالعات تئوری در این زمینه می‌توان به بررسی سهم گذار  $E1$  و  $E2$  فرآیند  $d(\alpha, \gamma)^6\text{Li}$  با استفاده از روش محاسباتی گروه رزونانسی<sup>۱</sup> توسط تایپل در سال ۱۹۹۱ اشاره نمود [۷]. خاربیچ در سال ۱۹۹۸ از روش توابع موج چندخوشه‌ای<sup>۲</sup> برای توصیف این فرآیند استفاده کرد [۸]. در سال ۲۰۱۱ محمدژانوف و همکاران، فاکتور اختریفیزیکی  $S$  فرآیند  $d(\alpha, \gamma)^6\text{Li}$  را با استفاده از مدل پتانسیل دو جسمی محاسبه کردند. در این مدل، پتانسیل دو جسمی با برازش به داده‌های جابه‌جایی فاز پراکندگی کشسان آلفا-دوترون به دست آمده بود [۹]. کیکوچی نیز در همان سال به بررسی پراکندگی کشسان آلفا-دوترون و واکنش  $d(\alpha, \gamma)^6\text{Li}$  با استفاده از حل معادله

<sup>2</sup>Multicuster Wave Functions

<sup>1</sup>Resonating Group

جدول ۱. قوانین گذار الکترومغناطیسی

نوع گذار	عنوان	$\Delta l$	$\Delta \pi$
E1	دو قطبی الکتریکی	۱	بله
M1	دو قطبی مغناطیسی	۱	خیر
E2	چهار قطبی الکتریکی	۲	خیر
M2	چهار قطبی مغناطیسی	۲	بله

کوتاه‌برد هسته‌ای باهم اندرکنش دارند. لذا ذرات آلفا و دوترون، تنها درجات آزادی سیستم هستند. براساس این نظریه، لاگرانژی فرآیند گیراندازی  $d(\alpha, \gamma)^6\text{Li}$  را به صورت زیر می‌نویسیم:

$$\mathcal{L}^{[\xi]} = \mathcal{L}_{ES}^{[\xi]} + \mathcal{L}_{RC}^{[\xi]} \quad ۳$$

که در آن  $\mathcal{L}_{ES}^{[\xi]}$  لاگرانژی مربوط به پراکندگی کشسان ذرات آلفا و دوترون و  $\mathcal{L}_{RC}^{[\xi]}$  لاگرانژی مربوط به فرآیند گیراندازی تابش گاما است.  $\mathcal{L}_{ES}^{[\xi]}$  توسط رابطه زیر داده می‌شود [۱۳]:

$$\begin{aligned} \mathcal{L}_{ES}^{[\xi]} = & \phi^\dagger (i\partial_0 + \frac{\nabla^2}{2m_\alpha})\phi + d_i^\dagger (i\partial_0 + \frac{\nabla^2}{2m_d})d_i \\ & + \eta^{[\xi]} t^{[\xi]\dagger} (i\partial_0 + \frac{\nabla^2}{2m_t} - \Delta^{[\xi]}) t^{[\xi]} \\ & + g^{[\xi]} (t^{[\xi]\dagger} (\phi \Pi^{[\xi]} d) + \text{h.c.}) \\ & + h^{[\xi]} t^{[\xi]\dagger} (i\partial_0 + \frac{\nabla^2}{2m_t})^2 t^{[\xi]} + \dots \end{aligned} \quad ۴$$

$g^{[\xi]}$ ،  $\Delta^{[\xi]}$  و  $h^{[\xi]}$  ثابت‌های جفت‌شدگی نظریه میدان مؤثر برای کانال‌های  $\xi$  هستند و  $\eta^{[\xi]} = \pm 1$  است.  $\phi$  میدان اسکالر ذره بدون اسپین آلفا با جرم  $\text{MeV } 3727.38$  و  $m_\alpha = \varepsilon_i^d d$  میدان برداری دوترون با جرم  $\text{MeV } 1875.61$  و  $m_d = 1875.61$  و  $t^{[\xi]}$  میدان دایمرون با جرم  $m_t = m_\alpha + m_d$  است که برای کانال‌های مختلف به صورت زیر تعریف نموده‌ایم:

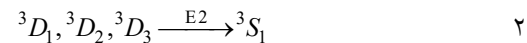
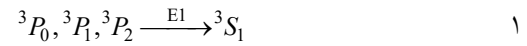
$$t^{[\xi]} = \begin{cases} \bar{t}_k & \xi = {}^3S_1 \\ t & \xi = {}^3P_0 \\ t_i & \xi = {}^3P_1 \\ t_{ij} & \xi = {}^3P_2 \end{cases} \quad ۵$$

عملگر تصویر  $\Pi^{[\xi]}$  نیز برای هر کانال به صورت زیر تعریف می‌شود:

$$\Pi^{[\xi]} = \begin{cases} \varepsilon_i^d & \xi = {}^3S_1 \\ \sqrt{3} P_i \varepsilon_i^d & \xi = {}^3P_0 \\ \sqrt{3/2} \varepsilon_{kji} P_j \varepsilon_i^d & \xi = {}^3P_1 \\ 3/\sqrt{5} P_j \varepsilon_i^d & \xi = {}^3P_2 \end{cases} \quad ۶$$

$$P_i = \frac{\mu}{i} (\frac{\bar{\nabla}_i}{m_d} - \frac{\nabla_i}{m_\alpha}) \quad ۷$$

با توجه به اسپین صفر ذره آلفا و اسپین یک دوترون و در نظر گرفتن تکانه زاویه‌ای مدارای سیستم آلفا-دوترون، حالت‌های محتمل ورودی در انرژی‌های پایین تکانه زاویه‌ای کل  $J = 0, 1, 2, 3$  هستند. حالت نهایی سیستم، حالت  ${}^3S_1$  است که مربوط به حالت پایه هسته مقید  ${}^6\text{Li}$  می‌باشد که از تقید دو ذره آلفا و دوترون با انرژی بستگی  $B = 1.47 \text{ MeV}$  ناشی می‌شود. بنابراین براساس قوانین گذار الکترومغناطیسی، گذارهای مجاز بین حالت‌های ورودی و حالت پایه نهایی در فرآیند  $d(\alpha, \gamma)^6\text{Li}$  را می‌توان به صورت زیر خلاصه نمود:



در بازه انرژی  $E_{\text{CM}} \leq 0.5 \text{ MeV}$  گذار E1 سهم غالب را در فرآیند  $d(\alpha, \gamma)^6\text{Li}$  دارد. ولی با افزایش انرژی و با توجه به اینکه سطح مقطع این فرآیند دارای یک رزونانس  $J^\pi = 3^+$  در  $E_{\text{CM}} = 0.711 \text{ MeV}$  می‌باشد برای باز تولید این رزونانس در سطح مقطع و در نتیجه در فاکتور اختریفیکی  $S$ ، لحاظ نمودن گذارهای E2 به خصوص گذار مربوط به کانال  ${}^3D_3$  ناگزیر می‌باشد که محاسبات مربوط به این بازه از انرژی برای فرآیند مذکور در حال انجام می‌باشد.

### لاگرانژی مؤثر واکنش $d(\alpha, \gamma)^6\text{Li}$

براساس نظریه میدان مؤثر خوشه‌ای دوجسمی، ذره آلفا و دوترون را به صورت ذرات نقطه‌ای بدون ساختار در نظر می‌گیریم که از طریق اندرکنش‌های کولنی و

دیگرام فاینمن  $c$  نشان داده شده در شکل ۴ متناظر با این جملات از لاگرانژی است. پارامتر مجهول  $L_{EI}$  بعد از بازبهنجار نمودن مسئله، با برازش به داده‌های تجربی فاکتور اختریفی  $k$  به دست می‌آید که در ادامه به ارائه جزئیات آن خواهیم پرداخت.

### پراکندگی کشسان آلفا-دوترون

در این بخش به اختصار به مروری بر پراکندگی کشسان آلفا-دوترون در نظریه میدان مؤثر خوشه‌ای دوجسمی می‌پردازیم. جزئیات مربوط به آن را در مرجع ۱۳ آورده‌ایم. دیگرام فاینمن مربوط به پراکندگی کشسان آلفا-دوترون در شکل ۱ نشان داده شده است. براساس قوانین فاینمن، دامنه پراکندگی کشسان آلفا-دوترون برای کانال‌های مختلف به دست می‌آید [۱۳]:

$$3iT_{CS}^{[\xi]}(p) = ig^{[\xi]^2} D^{[\xi]}(E, 0) C_0^2(\eta_p) W_1(\eta_p) \quad 13$$

$$\eta_p = \frac{k_C}{p} = \frac{Z_d Z_\alpha \mu \alpha_{em}}{p} \quad 14$$

$$C_0^2(\eta_p) = \frac{2\pi\eta_p}{e^{2\pi\eta_p} - 1} \quad 15$$

$$W_1(\eta_p) = \frac{k_C^{2l}}{(l!)^2} \prod_{n=0}^l \left(1 + \frac{n^2}{\eta_p^2}\right) \quad 16$$

که  $\alpha_{em}$  ثابت ساختار ریز و  $\eta_p$  پارامتر سامرفلد و  $k_C$  معکوس شعاع بوهر است. انتشارگر  $D^{[\xi]}(E, 0)$  نیز از رابطه زیر به دست می‌آید:

$$D^{[\xi]}(E, 0) = \frac{\eta_p}{E - \Delta^{[\xi]} - \eta^{[\xi]} g^{[\xi]^2} J_l(E)/3} \quad 17$$

که  $E = p^2/(2\mu)$  انرژی سیستم در چارچوب مرکز جرم است.  $J_l(E)$  از دو قسمت همگرا و واگرا تشکیل شده که قسمت همگرا از رابطه زیر به دست می‌آید [۱۵]:

$$J_l^{fin}(E) = -\frac{\mu}{2\pi} H_l(\eta_p) \quad 18$$

از دو قسمت تشکیل شده است. قسمت اول که متناظر با جریان یک جسمی<sup>۱</sup> است با جفت شدن فوتون خروجی با هر یک از ذرات آلفا و دوترون با اعمال  $\nabla \rightarrow \nabla + ieZA$  در  $\mathcal{L}_{ES}^{[\xi]}$  به دست می‌آید. که در آن  $Z$  عدد اتمی ذرات آلفا و دوترون و  $\mathbf{A}$  میدان فوتون است. با اعمال تبدیل فوق در جملات اول تا سوم لاگرانژی<sup>۲</sup> داریم:

$$\mathcal{L}_{RC}^{[\xi]} = \varphi^\dagger \left( ie \frac{Z_\alpha}{m_\alpha} \nabla \cdot \mathbf{A} \right) \varphi + d_i^\dagger \left( ie \frac{Z_d}{m_d} \nabla \cdot \mathbf{A} \right) d^i + g^{[\xi]} (t^{[\xi]})^\dagger (\varphi A^{[\xi]} d) + \text{h.c.} \quad 8$$

$$A^{[\xi]} = \begin{cases} \sqrt{3} Q_{\text{eff}} A_i \varepsilon_i^d & \xi = {}^3P_0 \\ \sqrt{3/2} Q_{\text{eff}} \varepsilon_{kji} A_j \varepsilon_i^d & \xi = {}^3P_1 \\ 3/\sqrt{5} Q_{\text{eff}} A_j \varepsilon_i^d & \xi = {}^3P_2 \end{cases} \quad 9$$

که در آن  $Q_{\text{eff}} = e\mu(Z_\alpha/m_\alpha - Z_d/m_d)$  و  $\mu$  به ترتیب بار مؤثر و جرم کاهیده سیستم آلفا-دوترون است. جمله اول و دوم لاگرانژی رابطه ۸ به ترتیب بیانگر انتشار فوتون از انتشارگرهای مربوط به ذرات دوترون و آلفا می‌باشد که متناظر با دیگرام‌های فاینمن  $a_1, b_1$  و  $a_2, b_2$  در شکل ۳ هستند و جمله سوم بیانگر انتشار فوتون از رأس برهم‌کنشی آلفا-دوترون-دایمرون در هر یک از کانال‌های  ${}^3P_2, {}^3P_1, {}^3P_0$  می‌باشد که متناظر با دیگرام فاینمن  $b_3$  در شکل ۳ است.

قسمت دوم لاگرانژی  $\mathcal{L}_{RC}^{[\xi]}$  متناظر با جریان دوجسمی<sup>۲</sup> است که بیانگر برهم‌کنش میدان دایمرون با میدان الکتریکی فوتون خروجی است و برای هر یک از کانال‌های  ${}^3P_2, {}^3P_1, {}^3P_0$  به صورت زیر استخراج نموده‌ایم [۱۴]:

$$\mathcal{L}_{RC}^{[{}^3P_0]} = \sqrt{3} \mu Q_{\text{eff}} L_{EI} g^{[{}^3S_1]} g^{[{}^3P_0]} t_{\bar{i}i} E_i \quad 10$$

$$\mathcal{L}_{RC}^{[{}^3P_1]} = \sqrt{3/2} \mu Q_{\text{eff}} L_{EI} g^{[{}^3S_1]} g^{[{}^3P_1]} \varepsilon_{kij} t_{\bar{k}i} \bar{t}_j E_j \quad 11$$

$$\mathcal{L}_{RC}^{[{}^3P_2]} = 3/\sqrt{5} \mu Q_{\text{eff}} L_{EI} g^{[{}^3S_1]} g^{[{}^3P_2]} t_{ij} \bar{t}_i E_j \quad 12$$

<sup>1</sup>One-Body Current

<sup>2</sup>Two-Body Current

$$K^{[\xi]}(p) = -\frac{1}{a^{[\xi]}} + \frac{1}{2}r^{[\xi]}p^2 + \frac{1}{4}s^{[\xi]}p^4 + \dots \quad 26$$

و مقایسه آن با معادله ۲۴ داریم:

$$\Delta_R^{[\xi]} = -\frac{\mu\eta^{[\xi]}g_R^{[\xi]^2}}{(2l+1)2\pi a^{[\xi]}} \quad 27$$

$$g_R^{[\xi]^2} = -\frac{(2l+1)2\pi}{\mu^2\eta^{[\xi]}r^{[\xi]}} \quad 28$$

$$h_R^{[\xi]} = -\frac{\mu^3g_R^{[\xi]^2}s^{[\xi]}}{(2l+1)2\pi} \quad 29$$

مقادیر این ثابت‌های بازهنجار شده را با برازش به داده‌های تجربی جابه‌جایی فاز کانال‌های  $S$  و  $P$  بدست آورده ایم [۱۳]. مقادیر به دست آمده در جدول ۱ گزارش شده‌اند. متناظر با مقادیر جدول ۱ با استفاده از روابط ۲۷ تا ۲۹ مقادیر مربوط به طول پراکندگی، برد مؤثر و پارامتر شکل هر کانال محاسبه و در جدول ۲ گزارش شده‌اند.

جدول ۱. مقادیر ثابت‌های بازهنجار شده که با برازش به داده‌های جابه‌جایی فاز تجربی به دست آمده‌اند [۱۳].

کانال	$\Delta_R^{[\xi]} [\text{MeV}]$	$g_R^{[\xi]^2} [\text{MeV}^{-(2l+1)/2}]$	$h_R^{[\xi]} [\text{MeV}^{-1}]$
$^3S_1$	-۷,۴۶۷	$3,231 \times 10^{-3}$	۰,۲۷۲
$^3P_0$	-۱۳,۰۹۱	$2,977 \times 10^{-4}$	$-1,801 \times 10^{-2}$
$^3P_1$	۱۰,۶۰۷	$4,006 \times 10^{-5}$	$7,930 \times 10^{-2}$
$^3P_2$	۲,۱۱۴	$2,522 \times 10^{-5}$	۰,۱۲۳

جدول ۲. مقادیر مربوط به طول پراکندگی، برد مؤثر و پارامتر شکل به دست آمده از ثابت‌های بازهنجار شده جدول ۱ [۱۳].

کانال	$a^{[\xi]} [\text{MeV}^{-2l-1}]$	$r^{[\xi]} [\text{MeV}^{2l-1}]$	$s^{[\xi]} [\text{MeV}^{2l-3}]$
$^3S_1$	$2,780 \times 10^{-2}$	$3,830 \times 10^{-3}$	$-8,345 \times 10^{-7}$
$^3P_0$	$-7,824 \times 10^{-7}$	$1,356 \times 10^2$	$1,950 \times 10^{-3}$
$^3P_1$	$-1,004 \times 10^{-8}$	$-7,494 \times 10^3$	۰,۴۷۴
$^3P_2$	$2,014 \times 10^{-8}$	$1,874 \times 10^5$	-۱,۸۵۱

در انرژی متناظر با انرژی بستگی  $E = -B$  مخرج دامنه پراکندگی در تکانه  $p = i\gamma$  صفر می‌شود:

$$-\frac{1}{a^{[3S_1]}} - \frac{1}{2}r^{[3S_1]}\gamma^2 + \frac{1}{4}s^{[3S_1]}\gamma^4 + \dots - H_0(i\gamma) = 0 \quad 30$$

$$H_l(\eta_p) = 2k_C W_l(\eta_p) H_l(\eta_p) \quad 19$$

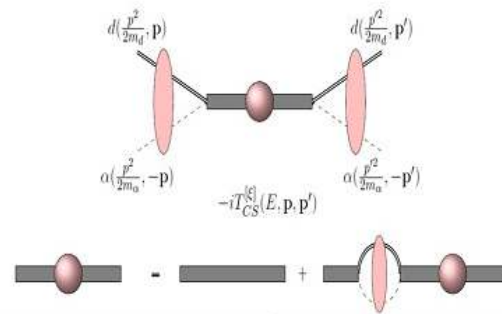
$$H_l(\eta_p) = \psi(\eta_p) + 1/(2i\eta_p) - \ln(\eta_p) \quad 20$$

که  $\psi$  مشتق لگاریتمی تابع گاما است. قسمت واگرا برای کانال‌های  $S$  و  $P$  از روابط زیر به دست می‌آید [۱۳].

$$J_0^{div} = \frac{\mu k_C}{2\pi} \left[ \frac{1}{\epsilon} + \ln \left( \frac{\kappa^2 \pi}{4k_C^2} \right) + 2 - 3C_E \right] \quad 21$$

$$J_1^{div} = p^2 J_0^{div} + (k_C^2 J_0^{div} + J) \quad 22$$

$$J = -4\pi\mu k_C^2 (k_C \zeta'(-2) + \kappa/24) \quad 23$$



شکل ۱. دیاگرام فاینمن پراکندگی کشسان ذرات آلفا-دوترون. میدان ذره آلفا با خط چین و میدان دوترون با دوخط، انتشارگر دایمرون با مستطیل طوسی و اندرکنش کولنی بین ذرات با بیضی صورتی نشان داده شده‌اند.

که  $\kappa$  مشتق تابع زتا ریمان  $C_E \approx 0,577$  ثابت اویلر-ماشرونی و  $K$  مقیاس جرمی بازهنجارش است. این واگرایی‌ها با معرفی پارامترهای بازهنجار شده  $g_R^{[\xi]}$ ،  $\Delta_R^{[\xi]}$  و  $h_R^{[\xi]}$  در پارامترهای  $g^{[\xi]}$ ،  $\Delta^{[\xi]}$  و  $h^{[\xi]}$  جذب شده و در نهایت دامنه پراکندگی کشسان برای کانال‌های  $S$  و  $P$  تا مرتبه NLO به صورت زیر به دست می‌آید:

$$T_{CS}^{[\xi]}(p) = -\frac{2\pi}{\mu} \frac{C_0^2(\eta_p) W_l(p)}{\frac{6\pi\Delta_R^{[\xi]}}{\eta^{[\xi]}g_R^{[\xi]^2}\mu} - \frac{1}{2} \left( \frac{6\pi}{\mu^2\eta^{[\xi]}g_R^{[\xi]^2}} \right) p^2 - H_l(\eta_p)} \quad 24$$

با توجه به بسط برد مؤثر برای پراکندگی کشسان در انرژی‌های پایین:

$$T_{CS}^{[\xi]}(p) = -\frac{2\pi}{\mu} \frac{C_0^2(\eta_p) W_l(p)}{K^{[\xi]}(p) - H_l(\eta_p)} \quad 25$$

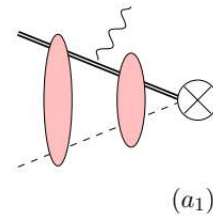
که  $\gamma$  تکانه متناظر با انرژی بستگی  $B$  است. در نتیجه ثابت بازبهنجارش حالت پایه  $^6\text{Li}$  از رابطه زیر به دست می آید [۱۴]:

$$\frac{1}{Z} = \frac{\partial[D^{[3S_1]}(E)]^{-1}}{\partial E} \Big|_{E=-B} = -\frac{g^{[3S_1]2} \mu^2}{2\pi p} \times \frac{\partial}{\partial p} \left[ \frac{1}{2} r^{[3S_1]} (p^2 + \gamma^2) + \frac{1}{4} s^{[3S_1]} (p^4 - \gamma^4) + \dots - H_0(\eta_p) + H_0(i\gamma) \right]_{p=i\gamma} \quad (31)$$

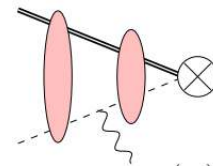
### دامنه های گذار E1 در واکنش $d(\alpha, \gamma)^6\text{Li}$

در این بخش به محاسبه دامنه گذار E1 در چارچوب نظریه میدان مؤثر خوشه ای دو جسمی می پردازیم. با در نظر گرفتن  $\mathbf{p}$  به عنوان تکانه سیستم آلفا-دوترون و  $\mathbf{k}$  به عنوان تکانه فوتون خروجی در چارچوب مرکز جرم و براساس پایستگی انرژی-تکانه داریم:

$$k = E - B = \frac{p^2 + \gamma^2}{2\mu} \quad (32)$$



(a1)



(a2)

از پس زنی هسته  $^6\text{Li}$  نهایی در محاسبات صرف نظر شده است. در شکل های ۲، ۳ و ۴ دیاگرام های فاینمن سهمیم در فرآیند  $d(\alpha, \gamma)^6\text{Li}$  نشان داده شده اند.

شکل ۲. دیاگرام های فاینمن گروه  $a$  در فرآیند  $d(\alpha, \gamma)^6\text{Li}$ . میدان ذره آلفا با خط چین و میدان دوترون با دوخط و فوتون خروجی با خط موج نمایش داده شده اند. بیضی های صورتی رنگ نماد اندرکنش کولنی و حالت مقید نهایی  $^6\text{Li}$  با  $\otimes$  نشان داده شده اند.

دیاگرام های  $a_1, a_2, b_1, b_2$ ، متناظر با جملات اول و دوم لاگرانژی ۸ می باشند با این تفاوت که در دیاگرام های

$$M_{a_1+a_2}^{[\xi]}(\mathbf{p}) = \frac{i}{\mu} Q_{\text{eff}} g^{[3S_1]} \sqrt{Z} \varepsilon_i^d \varepsilon_j^{Li*} \varepsilon_k^{\gamma*} \times \int d^3r G_C^{(0)}(-B, 0, r) \nabla_k \left[ 3P_1(\hat{\mathbf{p}} \cdot \hat{\mathbf{r}}) \chi_p^{(1)}(r) \right] \quad (33)$$

که  $\varepsilon^{\gamma*}$  بردار قطبش گامای خروجی،  $\varepsilon^d$  و  $\varepsilon^{Li*}$  به ترتیب بردار قطبش اسپین دوترون و هسته  $^6\text{Li}$  می باشند. تابع موج کولنی و تابع گرین انتگرالده رابطه ۳۳ توسط روابط زیر داده می شوند [۱۴]:

$$\chi_p^{(1)}(r) = i e^{i\sigma_1} \frac{F_1(\eta_p, pr)}{pr} \quad (34)$$

$$G_C^{(0)}(-B, 0, r) = -\frac{\mu}{2\pi r} \Gamma\left(1 + \frac{k_C}{\gamma}\right) W_{-k_C/\gamma, 1/2}(2\gamma r) \quad (35)$$

$\sigma_1$  جابه جایی فاز کولنی کانال  $P$  و  $W_{-k_C/\gamma, 1/2}(2\gamma r)$  تابع ویتاکر مربوط به حالت پایه هسته  $^6\text{Li}$  در کانال  $S$  و  $F_1(\eta_p, pr)$  مؤلفه تابع موج کولنی مربوط به حالت پراکندگی ورودی در کانال  $P$  است. با استفاده از

$$\nabla_k \left[ P_1(\hat{\mathbf{p}} \cdot \hat{\mathbf{r}}) \chi_p^{(1)}(r) \right] = i e^{i\sigma_1} \hat{\mathbf{p}}_j (\delta_{jk} r + r_j r_k \frac{\partial}{\partial r}) \frac{F_1(\eta_p, pr)}{pr^2} \quad (36)$$

و قرار دادن روابط ۳۴ تا ۳۶ در رابطه ۳۳ و استفاده از رابطه تقارنی  $r_j r_k / r^2 = \delta_{jk} / 3$  در انتگرالده، دامنه گذار متناظر با دیاگرام های شکل ۲ را به صورت زیر می نویسیم:

$$M_{a_1+a_2}^{[\xi]}(\mathbf{p}) = 2Q_{\text{eff}} g^{[3S_1]} \sqrt{Z} A(p) C_0(\eta_p) e^{i\sigma_1} \varepsilon_i^d \varepsilon_j^{Li*} (\varepsilon^{\gamma*} \cdot \hat{\mathbf{p}}) A(p) = \frac{\Gamma(1+k_C/\gamma)}{C_0(\eta_p)} \int_0^\infty dr r W_{-k_C/\gamma, 1/2}(2\gamma r) \left( 3+r \frac{\partial}{\partial r} \right) \frac{F_1(\eta_p, pr)}{pr^2} \quad (37)$$

دامنه گذار مربوط به دیاگرام های  $b_1, b_2$  که علاوه بر اندرکنش کولنی، شامل اندرکنش قوی نیز هستند را با استفاده از قوانین فاینمن به صورت زیر می نویسیم:

$$M_{b_1+b_2}^{[\xi]}(\mathbf{p}) = \frac{1}{\mu} Q_{\text{eff}} g^{[3S_1]} \sqrt{Z} \varepsilon_i^d \varepsilon_j^{Li*} \varepsilon_k^{\gamma*}$$

دیاگرام  $b_3$  متناظر با جمله سوم لاگرانژی ۸ می‌باشد. دامنه گذار مربوط به این دیاگرام را با استفاده از قوانین فاینمن به صورت زیر می‌نویسیم:

$$M_{b_3}^{[\xi]}(\mathbf{p}) = iQ_{\text{eff}} g^{[3S_1]} \sqrt{Z} \varepsilon_i^d \varepsilon_j^{Li*} \varepsilon_k^{\gamma*} G_0^{(0)}(-B, 0, 0) \times 3T_{CS}^{[\xi]}(p) e^{i\sigma_1} C_0^{-1}(\eta_p) W_1^{-1/2}(\eta_p) \hat{\mathbf{p}}_k \quad 45$$

با توجه به رابطه ۲۵ و رابطه زیر [۱۴]:

$$G_0^{(0)}(-B, 0, 0) = -\frac{\mu}{2\pi} J_0(i\gamma) \quad 46$$

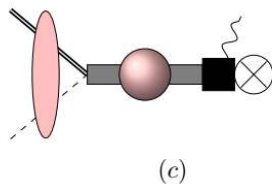
دامنه گذار ۴۵ را به صورت نهایی زیر می‌نویسیم:

$$M_{b_3}^{[\xi]}(\mathbf{p}) = -\frac{6\pi}{\mu} Q_{\text{eff}} g^{[3S_1]} \sqrt{Z} \frac{C_0(\eta_p) W_1^{1/2}(\eta_p)}{K^{[\xi]}(p) - H_1(\eta_p)} \times e^{i\sigma_1} \varepsilon_i^d \varepsilon_j^{Li*} (\boldsymbol{\varepsilon}^{\gamma*} \cdot \mathbf{p}) J_0(i\gamma) \quad 47$$

دیاگرام  $c$  که مربوط به جریان دوجسمی است نیز در گذار EI سهم دارد که دامنه گذار مربوط به آن با استفاده از قوانین فاینمن و براساس جملات لاگرانژی ۱۰ تا ۱۲ به صورت زیر نوشته می‌شود:

$$M_c^{[\xi]}(\mathbf{p}) = i\mu k_0 Q_{\text{eff}} g^{[3S_1]} \sqrt{Z} L_{EI} \varepsilon_i^d \varepsilon_j^{Li*} \varepsilon_k^{\gamma*} \times 3T_{CS}^{[\xi]}(p) e^{i\sigma_1} C_0^{-1}(\eta_p) W_1^{-1/2}(\eta_p) \hat{\mathbf{p}}_k \quad 48$$

با توجه به رابطه ۲۵، شکل نهایی دامنه گذار متناظر با دیاگرام  $c$  را به صورت زیر می‌نویسیم:



شکل ۴. دیاگرام مربوط به جریان دوجسمی در فرآیند  $d(\alpha, \gamma)^6\text{Li}$

$$M_c^{[\xi]}(\mathbf{p}) = 6\pi k_0 L_{EI} Q_{\text{eff}} g^{[3S_1]} \sqrt{Z} \frac{C_0(\eta_p) W_1^{1/2}(\eta_p)}{K^{[\xi]}(p) - H_1(\eta_p)} \times e^{i\sigma_1} \varepsilon_i^d \varepsilon_j^{Li*} (\boldsymbol{\varepsilon}^{\gamma*} \cdot \hat{\mathbf{p}}) \quad 49$$

با توجه به روابط ۳۷، ۴۳، ۴۷ و ۴۹ برای دامنه گذار کل داریم:

$$M^{[\xi]}(\mathbf{p}) = M_{a_1+a_2}^{[\xi]}(\mathbf{p}) + M_{b_1+b_2}^{[\xi]}(\mathbf{p}) + M_{b_3}^{[\xi]}(\mathbf{p}) + M_c^{[\xi]}(\mathbf{p}) \quad 50$$

$$\int d^3r G_C^{(0)}(-B, 0, r) \lim_{r'' \rightarrow 0} \nabla_k \nabla_l \left[ 3P_1(\hat{\mathbf{r}} \cdot \hat{\mathbf{r}}'') G_C^{(1)}(E, r, r'') \right] \times 3T_{CS}^{[\xi]}(p) e^{i\sigma_1} C_0^{-1}(\eta_p) W_1^{-1/2}(\eta_p) \hat{\mathbf{p}}_l \quad 38$$

با توجه به روابط زیر:

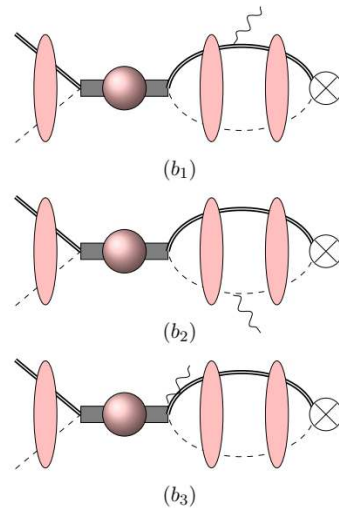
$$G_C^{(1)}(E, r, r'') = -\frac{\mu p}{2\pi} \frac{F_1(\eta_p, pr'')}{pr''} \frac{H_1^{(+)}(\eta_p, pr)}{pr} \quad 39$$

$$F_1(\eta_p, pr'') = -\frac{1}{4} C_1(\eta_p) M_{in_p, 3/2}(2ipr'') \quad 40$$

$$H_1^{(+)}(\eta_p, pr) = -ie^{\pi\eta_p/2} e^{\sigma_1} W_{-in_p, 3/2}(-2ipr) \quad 41$$

$$\lim_{r'' \rightarrow 0} \nabla_k \nabla_l \left[ P_1(\hat{\mathbf{r}} \cdot \hat{\mathbf{r}}'') G_C^{(1)}(E, r, r'') \right] = \frac{i\mu p}{6\pi} \Gamma(2 + i\eta_p)$$

$$\int_0^\infty dr r W_{-k_C/\gamma, 1/2}(2\gamma r) \left( \frac{\partial}{\partial r} + \frac{2}{r} \right) \frac{W_{-in_p, 3/2}(-2ipr)}{r} \quad 42$$



شکل ۳. دیاگرام‌های فاینمن گروه  $b$  در فرآیند  $d(\alpha, \gamma)^6\text{Li}$ .

با قرار دادن روابط ۲۵، ۳۵ و ۴۲ در رابطه ۳۸ و استفاده از رابطه تقارنی  $r_j r_k / r^2 = \delta_{jk} / 3$  در انتگرالده، دامنه گذار متناظر با دیاگرام‌های  $b_2, b_1$  شکل ۳ را به صورت زیر می‌نویسیم:

$$M_{b_1+b_2}^{[\xi]}(\mathbf{p}) = 2Q_{\text{eff}} g^{[3S_1]} \sqrt{Z} B(p) \frac{C_0(\eta_p) W_1^{1/2}(\eta_p)}{K^{[\xi]}(p) - H_1(\eta_p)} \times e^{i\sigma_1} \varepsilon_i^d \varepsilon_j^{Li*} (\boldsymbol{\varepsilon}^{\gamma*} \cdot \hat{\mathbf{p}}) \quad 43$$

$$B(p) = ip\Gamma(1 + k_C/\gamma)\Gamma(2 + i\eta_p) \times \int_0^\infty dr r W_{-k_C/\gamma, 1/2}(2\gamma r) \left( \frac{2}{r} + \frac{\partial}{\partial r} \right) \frac{W_{-in_p, 3/2}(-2ipr)}{r} \quad 44$$



$$L_{E1}^R = L_{E1} + \frac{1}{\mu k_0} \left[ J_0^{div} - \frac{i\mu}{3\pi} B^{div} \right] \quad 54$$

### قانون شمارش توانی

مهمترین بخش از نظریه میدان مؤثر، معرفی پارامتر بسط و بررسی مرتبه هر دیاگرام و کانال در دامنه گذار و محاسبه کمیت‌های فیزیکی تا مرتبه معین از نظریه می‌باشد. در نظر گرفتن پارامتر  $k_C \sim 18 \text{ MeV}$  به‌عنوان مقیاس تکانه‌های پایین  $Q$  و تکانه متناظر با انرژی بستگی دوترون  $\sqrt{2m_d B_d} \sim 90 \text{ MeV}$ ، به‌عنوان مقیاس تکانه‌های بالای  $\Lambda$ ، پارامتر بسط را به‌صورت  $Q/\Lambda \sim 1/5$  تعریف می‌کنیم. دلیل اینکه حد بالای  $\Lambda$  را تکانه متناظر با انرژی تفکیک دوترون انتخاب نموده‌ایم این است که برای تکانه‌های بالاتر از آن دیگر دوترون را به‌صورت یک ذره نقطه‌ای نمی‌توان در نظر گرفت و نظریه میدان مؤثر دوجسمی اعتبار خود را از دست می‌دهد. بدیهی است در محدوده انرژی متناظر با تکانه  $Q \sim p$  پارامتر بسط از مرتبه  $1/5$  می‌باشد و با افزایش انرژی پارامتر بسط افزایش می‌یابد. بر اساس قانون شمارش توانی معرفی شده داریم:

$$A \sim Q^2/\Lambda^4, k \sim Q^3/\Lambda^2, \mu \sim \Lambda^3/Q^2, H_0 \sim Q/6, B \sim 1 \quad 55$$

همچنین با توجه به تعیین مرتبه پارامترهای برد مؤثر طول پراکندگی و پارامتر شکل مربوط به هر کانال که در جدول ۱ مرجع ۱۳ ارائه نموده‌ایم، مرتبه دامنه گذار دیاگرام‌های گروه  $b$  و  $c$  نسبت به دیاگرام‌های گروه  $a$  را تعیین و در جدول ۳ گزارش نموده‌ایم. همان‌طور که در جدول ۳ نشان داده شده است، برای کانال‌های  ${}^3P_1$  و  ${}^3P_2$  دیاگرام‌های گروه  $a$  از مرتبه LO و دیاگرام‌های  $b_1, b_2, b_3$  و  $c$  از مرتبه NLO می‌باشند. اما برای کانال  ${}^3P_0$  دیاگرام‌های گروه  $a$  و  $b_1, b_2$  از مرتبه LO و دیاگرام‌های  $b_3$  و  $c$  از مرتبه NLO می‌باشند.

$$M^{[\xi]}(\mathbf{p}) = M^{[\xi]}(p) \varepsilon_i^d \varepsilon_j^{Li^*} (\boldsymbol{\varepsilon}^* \cdot \hat{\mathbf{p}}) \quad 51$$

که در آن دامنه گذار  $M^{[\xi]}(p)$  به‌صورت زیر است:

$$M^{[\xi]}(p) = 2Q_{\text{eff}} g^{[\xi]} \sqrt{Z} C_0(\eta_p) e^{i\sigma_1} \left[ A(p) + \frac{W_1^{1/2}(\eta_p)}{K^{[\xi]}(p) - H_1(\eta_p)} \left( B(p) - \frac{3\pi i}{\mu} J_0(i\gamma) - 3\pi i k_0 L_{E1} \right) \right] \quad 52$$

همان‌طور که انتظار داشتیم و از رابطه فوق نیز پیداست، سهم دیاگرام‌های گروه  $a$  در هر سه کانال کاملاً یکسان است درحالی‌که سهم دیاگرام‌های گروه  $b$  برای هر کانال متفاوت می‌باشد.

### بازبهنجارش ثابت‌های لاگرانژی

واگرایی‌های مربوط به انتشارگر کامل پراکندگی که در دیاگرام‌های گروه  $b$  و دیاگرام  $c$  ظاهر می‌شود و مربوط به قسمت واگرایی  $J_1(E)$  می‌باشد، همان‌طور که در بخش قبل به‌اختصار اشاره شد و با جزئیات در مرجع ۱۳ آورده ایم در ثابت‌های  $g^{[\xi]}$ ،  $\Delta^{[\xi]}$  و  $h^{[\xi]}$  جذب شده و بازبهنجارش این ثابت‌ها را رقم می‌زند. انتگرال موجود در دامنه‌های گذار مربوط به دیاگرام‌های گروه  $a$  همگرا هستند و به‌صورت عددی محاسبه می‌شوند. ولی انتگرال دیاگرام‌های گروه  $b$  در حد  $r \rightarrow 0$  واگرایی لگاریتمی دارند. با استفاده از تعریف متغیر  $r_C$  در حد پایین این انتگرال بخش واگرایی این انتگرال‌ها را جدا می‌کنیم [۱۶، ۱۷]:

$$B_{b_1+b_2}^{div} = k_C \int_0^{r_C} \frac{dr}{r} \rightarrow k_C \left( \frac{\kappa}{2} \right)^{2\epsilon} \int_0^{r_C} \frac{dr}{r^{1-2\epsilon}} = k_C \left( \frac{1}{2\epsilon} + \ln\left(\frac{\kappa}{2} k_C\right) + O(\epsilon) \right) \quad 53$$

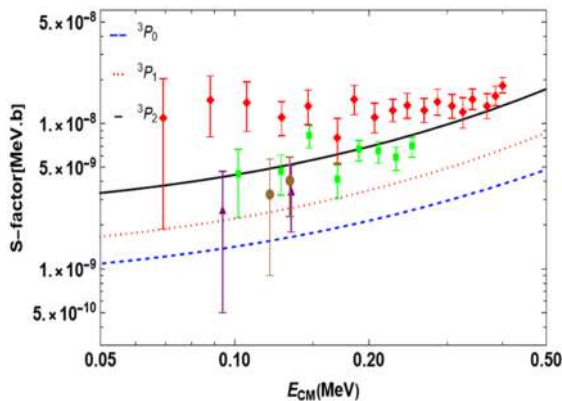
به‌علاوه عبارت  $J_0(i\gamma)$  در دامنه گذار مربوط به دیاگرام  $b_3$  نیز دارای بخشی واگرا به‌صورت  $J_0^{div}$  است که در رابطه ۲۱ نشان داده شده است. با بازبهنجارش ثابت  $L_{E1}$  به‌صورت زیر واگرایی‌های مذکور جذب  $L_{E1}$  می‌شوند [۱۷، ۱۸].

فاکتور اخت‌فیزیکی  $S$  را در انرژی  $E_{CM} = 0.45 \text{ MeV}$  به صورت تابعی از  $r_C$  نشان می‌دهد.

جدول ۲. مقادیر برازش شده  $L_{EI}^R$  به داده‌های تجربی در بازه انرژی  $0.5 \text{ MeV} \leq E_{CM}$  و مقدار فاکتور اخت‌فیزیکی محاسبه شده در انرژی  $0.45 \text{ MeV}$   $E_{CM}$  به صورت تابعی از  $r_C$ .

$r_C$ (fm)	$L_{EI}^R$	S (MeV.b)
۱	$(8.69 \pm 0.27) \times 10^{-1}$	$9.25 \times 10^{-9}$
۰.۵	$(8.35 \pm 0.21) \times 10^{-1}$	$9.78 \times 10^{-9}$
۰.۱	$(8.24 \pm 0.18) \times 10^{-1}$	$1.59 \times 10^{-9}$
۰.۰۵	$(8.14 \pm 0.25) \times 10^{-1}$	$1.61 \times 10^{-9}$
۰.۰۰۱	$(8.050 \pm 0.21) \times 10^{-1}$	$1.62 \times 10^{-9}$

همان‌طور که واضح است، در بازه  $r_C \leq 0.1 \text{ fm}$  هرچه مقادیر  $r_C$  کوچک‌تر می‌شود، مقادیر  $S$  همگرا می‌شود. این جدول نشان می‌دهد که مقادیر این پارامتر با تقریب خوبی مستقل از انتخاب  $r_C$  است.



شکل ۵. مقایسه سهم کانال‌های ورودی گذار EI در فاکتور اخت‌فیزیکی  $S$  فرآیند  $d(\alpha, \gamma)^6\text{Li}$ .

در شکل ۵ سهم هر یک از کانال‌ها در گذار EI نشان داده شده است می‌توان دید که در بازه انرژی  $0.5 \text{ MeV} \leq E_{CM}$  سهم غالب گذار EI ناشی از کانال ورودی  $^3P_2$  است. این موضوع را می‌توان به مثبت بودن طول پراکنده‌گی برای کانال  $^3P_2$  و منفی بودن آن برای دو کانال دیگر نسبت داد.

جدول ۳. مرتبه دامنه گذار دیاگرام‌های گروه  $b$  و  $c$  نسبت به دیاگرام‌های گروه  $a$  براساس قانون شمارش توانی معرفی شده.

$\xi$	$\frac{M_{b_1+b_2}}{M_{a_1+a_2}}$	$\frac{M_{b_3}}{M_{a_1+a_2}}$	$\frac{M_c}{M_{a_1+a_2}}$
$^3P_0$	1	$Q/\Lambda$	$Q/\Lambda$
$^3P_1$	$Q/\Lambda$	$Q/\Lambda$	$Q/\Lambda$
$^3P_2$	$Q/\Lambda$	$Q/\Lambda$	$Q/\Lambda$

## نتایج

در این بخش با استفاده از دامنه گذار به دست آمده برای همه کانال‌های محتمل به محاسبه سطح مقطع کل گیراندازی تابش گاما و فاکتور اخت‌فیزیکی  $S$  برای فرآیند  $d(\alpha, \gamma)^6\text{Li}$  تا مرتبه NLO می‌پردازیم. فاکتور اخت‌فیزیکی  $S$  از رابطه زیر به دست می‌آید:

$$S(E) = E \exp(2\pi\eta_p) \sigma(p) \quad (56)$$

سطح مقطع دیفرانسیلی واکنش براساس دامنه‌های گذار به دست آمده در بخش قبل و با جمع روی قطبش فوتون خروجی و تصاویر اسپین حالت پایه  $^6\text{Li}$  و میانگین‌گیری روی تصاویر اسپین دوترون و کانال‌های ورودی سیستم به صورت زیر به دست می‌آید:

$$\frac{d\sigma}{d\Omega} = \frac{\mu k}{8\pi^2 p} \frac{1}{9} |\mathcal{M}(p)|^2 \sum_{i,j=1}^3 |\varepsilon_i^d \varepsilon_j^{Li^*}|^2 \sum_{r=1}^2 |(\varepsilon_r^{*} \cdot \hat{\mathbf{p}})|^2 \quad (57)$$

$$\mathcal{M}(p) = \mathcal{M}[^3P_0](p) + \mathcal{M}[^3P_1](p) + \mathcal{M}[^3P_2](p) \quad (58)$$

در نهایت با انتگرال‌گیری روی زاویه، سطح مقطع کل واکنش توسط رابطه زیر به دست می‌آید:

$$\sigma(p) = \frac{\mu k}{18\pi p} |\mathcal{M}(p)|^2 \quad (59)$$

پارامتر  $L_{EI}^R$  با برازش فاکتور اخت‌فیزیکی  $S$  به داده‌های آزمایشگاهی در محدوده انرژی  $0.5 \text{ MeV} \leq E_{CM}$  به دست آمده است. جدول ۴ نتایج به دست آمده برای

سه جسمی برای مطالعه فرآیند  $d(\alpha, \gamma)^6\text{Li}$  می‌تواند توصیف دقیق‌تری از این سیستم ارائه دهد.

### سپاسگزاری

این اثر تحت حمایت مادی صندوق حمایت از پژوهشگران و فناوران کشور (INSF) برگرفته شده از طرح شماره "۴۰۰۳۶۶۲" انجام شده است.

### مرجع‌ها

[1] M.A.D. Trezzi, M. Aliotta, A. Bellini, D. Bemmerer, A. Boeltzig, C. Broggini, C.G. Bruno, A. Cacioli, e.a. F Cavanna, Big Bang  $6\text{Li}$  nucleosynthesis studied deep underground (LUNA collaboration), *Astroparticle Physics*, 89 (2017) 57-65. <https://doi.org/10.1016/j.astropartphys.2017.01.007>

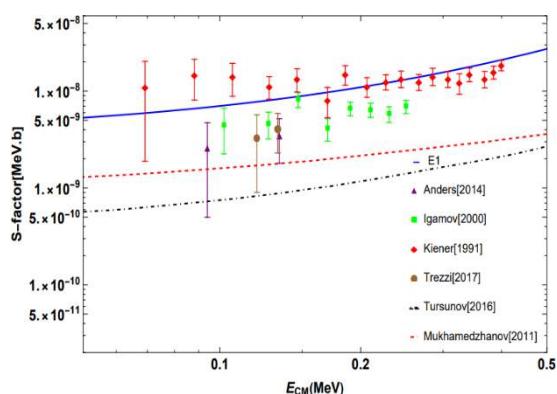
[2] P.D. Serpico, S. Esposito, F. Iocco, G. Mangano, G. Miele, O. Pisanti, Nuclear reaction network for primordial nucleosynthesis: a detailed analysis of rates, uncertainties and light nuclei yields, *Journal of Cosmology and Astroparticle Physics*, 2004 (2004) 010. <https://doi.org/10.1088/1475-7516/2004/12/010>

[3] P.D.R.G.H. Robertson, R.A. Warner, R.C. Melin, T.J. Bowles, A.B. McDonald, G.C. Ball, W.G. Davies, E. Earle, Observation of the capture reaction/ $\sup 2/\text{H}$  (cap  $\alpha$ .,  $\gamma$ .)/ $\sup 6/\text{Li}$  and its role in production of/ $\sup 6/\text{Li}$  in the big bang, *Physical. Review.Letter* 47 (1981). <https://doi.org/10.1103/PhysRevLett.47.1867>

[4] P. Mohr, V. Kölle, S. Wilmes, U. Atzrott, G. Staudt, J. Hammer, H. Krauss, H. Oberhummer, Direct capture in the 3+ resonance of  $\text{H } 2(\alpha, \gamma) ^6\text{Li}$ , *Physical Review C*, 50 (1994) 1543. <https://doi.org/10.1103/PhysRevC.50.1543>

[5] F. Hammache, A. Walus, M. Caamano, M. Hellström, D. Cortina-Gil, A. Wagner, P. Mohr, V. Tatischeff, O. Sorlin, D. Galaviz,

در شکل ۶ مقادیر فاکتور اختربیزیکی  $S$  به دست آمده از نظریه میدان مؤثر خوشه‌ای و مقایسه آن با مقادیر تجربی و تئوری به دست آمده از روش‌های دیگر نشان داده شده است. همان‌طور که در شکل دیده می‌شود نتایج به دست آمده نسبت به دو روش دیگر تطابق بیشتری با داده‌های تجربی دارند.



شکل ۶. مقایسه مقادیر به دست آمده فاکتور اختربیزیکی  $S$  فرآیند  $d(\alpha, \gamma)^6\text{Li}$  با استفاده از نظریه میدان مؤثر و مقایسه آن با نتایج تجربی [۱، ۱۹، ۲۰، ۲۱] و تئوری [۹، ۱۱].

### بحث و نتیجه‌گیری

در این مقاله، به مطالعه فرآیند گیراندازی تابش گاما  $d(\alpha, \gamma)^6\text{Li}$  در چارچوب نظریه میدان مؤثر خوشه‌ای و در بازه انرژی  $E_{\text{CM}} \leq 0.5 \text{ MeV}$  پرداخته شد. نشان دادیم که گذار  $E1$  گذار مجاز و غالب را در این فرآیند در بازه انرژی مذکور دارد. در ادامه به محاسبه فاکتور اختربیزیکی  $S$  فرآیند  $d(\alpha, \gamma)^6\text{Li}$  و مقایسه آن با نتایج آزمایشگاهی و نتایج به دست آمده از تئوری‌های دیگر پرداختیم. تطابق نتایج فاکتور اختربیزیکی  $S$  به دست آمده از نظریه میدان مؤثر خوشه‌ای با نتایج تجربی، نسبت به روش‌های دیگر نشان می‌دهد که این نظریه روشی کارآمد برای توصیف سیستم‌های چندجسمی است. در بازه انرژی‌های بالاتر، در نظر گرفتن گذار  $E2$  و همچنین استفاده از نظریه میدان مؤثر خوشه‌ای

- $\alpha+d \rightarrow {}^6\text{Li}+\gamma$  astrophysical capture process in a three-body model. II. Reaction rates and primordial abundance, *Physical Review C*, 98 (2018) <https://doi.org/10.1103/PhysRevC.1198.055803>.
- [13] F. Nazari, M. Radin, M.M. Arani, Low-energy deuteron–alpha elastic scattering in cluster effective field theory, *The European Physical Journal A*, 59 (2023) 20.. <https://doi.org/10.1140/epja/s10050-023-00923-x>
- [14] R. Higa, G. Rupak, A. Vaghani, Radiative  $3\text{He}(\alpha,\gamma)\alpha$ ,  $7\text{Be}(\alpha,\gamma)\alpha$  reaction in halo effective field theory, *The European Physical Journal A*, 54 (2018) 1-12. <https://doi.org/10.1140/epja/i2018-12486-5>
- [15] S.-i. Ando, J.W. Shin, C.H. Hyun, S.-W. Hong, Low energy proton-proton scattering in effective field theory, *Physical Review C*, 76 (2007). 064001. <https://doi.org/10.1103/PhysRevC.76.064001>.
- [16] S.-I. Ando, Cluster effective field theory and nuclear reactions, *The European Physical Journal A*, 57 (2021) 17. <https://doi.org/10.1140/epja/s10050-10020-00304-10058>.
- [17] S.-I. Ando, S E 1 factor of radiative  $\alpha$  capture on  $^{12}\text{C}$  in cluster effective field theory, *Physical Review C*, 100 (2019) 015807. <https://doi.org/10.1103/PhysRevC.100.015807>
- [18] S.-I. Ando, Radiative decay of the subthreshold  $1^-$  and  $2^+$  states of  $^{16}\text{O}$  in cluster effective field theory, *Physical Review C*, 109 (2024) 015801. <https://doi.org/10.1103/PhysRevC.109.015801>
- [19] M. Anders, D. Trezzi, R. Menegazzo, M. Aliotta, A. Bellini, D. Bemmerer, C. Broggini, A. Cacioli, P. Corvisiero, H. Costantini, First Direct Measurement of the  $^2\text{H}(\alpha,\gamma)^6\text{Li}$  Cross Section at Big Bang Energies and the Primordial Lithium
- New measurement of the cross section of the big bang nucleosynthesis reaction  $\text{D}(\alpha,\gamma)^6\text{Li}$  and its astrophysical impact (2006) 013. <https://doi.org/10.22323/1.028.0013>
- [6] K. Langanke, Microscopic potential model studies of light nuclear capture reactions, *Nuclear Physics A*, 457 (1986) 351-366. [https://doi.org/10.1016/0375-9474\(1986\)90383-90380](https://doi.org/10.1016/0375-9474(1986)90383-90380).
- [7] S. Typel, G. Blägle, K. Langanke, The low-energy  $\text{D}(\alpha,\gamma)^6\text{Li}$  and  $^6\text{Li}+^{208}\text{Pb} \rightarrow \text{D}+\alpha+^{208}\text{Pb}$  cross sections, *Zeitschrift für Physik A Hadrons and Nuclei*, 339 (1991) 335-339. <https://link.springer.com/article/10.1007/BF01560634>
- [8] A. Kharbach, P. Descouvemont, Microscopic study of the  $2\text{H}(\alpha,\gamma)^6\text{Li}$  reaction in a multicluster model, *Physical Review C*, 58 (1998) 1066. <https://doi.org/10.1103/PhysRevC.58.1066>.
- [9] L.D.B. A. M. Mukhamedzhanov, and B. F. Irgaziev, Reexamination of the astrophysical S factor for the  $\alpha+d \rightarrow ^6\text{Li}+\gamma$  reaction, *Physical Review C*, 83 (2011). <https://doi.org/10.1103/PhysRevC.83.055805>
- [10] Y. Kikuchi, N. Kurihara, A. Wano, K. Katō, T. Myo, M. Takashina, Three-body model analysis of  $\alpha+d$  elastic scattering and the  $2\text{H}(\alpha,\gamma)^6\text{Li}$  reaction in complex-scaled solutions of the Lippmann-Schwinger equation, *Physical Review C*, 84 (2011) 064610. <https://doi.org/10.1103/PhysRevC.84.064610>
- [11] A.S.K. E. M. Tursunov, S. A. Turakulov, and I. Bray, Theoretical study of the  $\alpha+d \rightarrow ^6\text{Li}+\gamma$  astrophysical capture process in a three-body model, *Physical Review C* 94 (2016). <https://doi.org/10.1103/PhysRevC.94.015801>
- [12] S.A.T. E. M. Tursunov, A. S. Kadyrov, and I. Bray, Theoretical study of the

Problem, Physical Review Letters, 113 (2014) 042501.  
<https://doi.org/10.1103/PhysRevLett.113.042501>

[20] J. Kiener, H. Gils, H. Rebel, S. Zagromski, G. Gsottschneider, N. Heide, H. Jelitto, J. Wentz, G. Baur, Measurements of the Coulomb dissociation cross section of 156 MeV  $^6\text{Li}$  projectiles at extremely low relative fragment energies of astrophysical interest, Physical Review C, 44 (1991) 2195.  
<https://doi.org/10.1103/PhysRevC.44.2195>

[21] S. Igamov, R. Yarmukhamedov, Triple-differential cross section of the  $^{208}\text{Pb}(^6\text{Li}, \alpha d)^{208}\text{Pb}$  Coulomb breakup and astrophysical S-factor of the  $d(\alpha, \gamma)^6\text{Li}$  reaction at extremely low energies, Nuclear Physics A, 673 (2000) 509-525.  
[https://doi.org/10.1016/S0375-9474\(00\)00132-9](https://doi.org/10.1016/S0375-9474(00)00132-9)